增液汤治疗 2 型糖尿病的 "入血成分-靶点-效应" 复杂网络研究

张倩茹1,2, 常山泉1, 戚 进1*, 胡元佳3*

(1. 中国药科大学中药学院, 江苏 南京 210038; 2. 遵义医科大学药学院, 基础药理教育部重点实验室, 贵州 遵义 563000; 3. 澳门大学中华医药研究院, 澳门 氹仔 20008)

摘要:目的 结合网络药理学方法探讨增液汤入血成分对2型糖尿病的潜在作用效应。方法 根据配体的化学结构相似性预测增液汤入血成分作用靶点,并通过靶点与糖尿病治疗效应的关联性,构建并分析"入血成分-靶点-效应"网络(ITEN),从而筛选出重要的潜在活性成分。对增液汤治疗2型糖尿病的潜在活性成分和作用效应进行体外实验验证。结果 哈帕昔、哈帕酯苷、阿魏酸、梓醇、毛蕊花糖苷等6个人血成分可能是增液汤的主要活性物质,葡萄糖摄取、胰岛素分泌、糖原合成可能是增液汤治疗2型糖尿病的主要作用效应。结论 通过计算模拟和实验验证发现了增液汤入血成分的降糖活性效应,为揭示增液汤治疗2型糖尿病的物质基础提供了理论依据。

关键词:增液汤;入血成分;2型糖尿病;治疗效应

中图分类号: R966; R285.5 文献标志码: B

doi:10.3969/j.issn.1001-1528.2023.05.056

2 型糖尿病(type 2 diabetes mellitus, T2DM)又称非 胰岛素依赖型糖尿病,主要表现为胰岛素分泌相对不足或 者机体对胰岛素的敏感性降低,导致血糖水平异常升高, 从而对细胞、器官造成不可逆损伤。2019 年 IDF 全球糖尿 治疗效应进行预测,

病患者地图 (第9版) 显示,我国糖尿病成年患者人数为1.2亿,有90%~95%的患者属于T2DM。预计到2030年,糖尿病将成为全球范围内全因死亡率最高的疾病[1]。基于传统药物特别是中药及复方,筛选高效、低毒的活性成分

传统约物特别是中约及复万, 筛选高效、低毒的活性成分 是糖尿病药物研发的热点之一^[2]。 增液汤始载于清代吴鞠通所著《温病条辨》, 由玄

增液汤始载于清代吴翱进所者《温病条辨》,田幺参、生地和麦冬这3种常用滋阴药材组成,具养阴增液润肠之功效,主治阳明津液灼伤,肠燥便秘之邪少虚多证,常被作为治疗"阴虚热盛型"糖尿病(早期2型糖尿病)的基本方剂,在临床上取得显著疗效^[3-4]。但是,增液汤化学成分组成的多样性以及含量的微量化,增加了物质基础研究难度,对增液汤的深入研究和临床应用造成阻碍。基于方剂入血成分发现潜在活性物质,是中药药效物质基础研究的重要思路之一^[5]。依据中药显效理论,"多成分、多靶点、效应叠加"是中药发挥生物活性的作用特点^[6]。增液汤治疗T2DM的机制可能是多种入血成分协同作用于多个靶点,进而发挥与糖尿病治疗药物类似的效应。

文章编号: 1001-1528(2023)05-1698-07

基于前期工作,本研究采用化合物结构相似性的对接 模拟技术以及网络分析方法,构建增液汤的"入血成分-靶 点-效应"网络,对增液汤潜在活性成分、相关机制、主要 治疗效应进行预测,为揭示增液汤的药效物质提供理论 依据。

1 材料与方法

1.1 细胞与试剂 HepG2 细胞株购自中国科学院上海细胞库。胎牛血清 (FBS)、Fat-free 牛血清白蛋白,购自美国Sigma-Aldrich 公司; DMEM 高糖培养基、RPMI-1640 培养基,购自美国 Gibco 公司; 胰蛋白酶,购自合肥白鲨生物科技有限公司; 格列本脲,购自美国 APExBIO 公司; 胰岛素试剂盒,购自上海科鉴生物科技有限公司; 糖原含量测定试剂盒,购自南京建成生物工程研究所; RIPA 细胞裂解液、青霉素链霉素溶液、PMSF 蛋白酶抑制剂、马血清,购自上海碧云天生物技术有限公司; 盐酸二甲双胍,购自上海阿拉丁生化科技股份有限公司。

1.2 仪器 酶标仪 (美国 BioTek 公司); 低温离心机、细胞培养箱、超低温冰箱 (美国 Thermo 公司); 生物安全柜(苏净集团苏州安泰空气技术有限公司); 倒置显微镜 (日本 Olympus 公司); 高压蒸汽灭菌锅 (上海博迅实业有限公司); 数显恒温水浴锅 (金坛市金城国胜实验仪器厂); 恒温孵育箱 (德国 Miltenyi Biotec 公司)。

收稿日期: 2021-10-07

基金项目: 国家自然科学基金资助项目 (81673555); 遵义医科大学 2017 年度学术新苗培养及创兴探索专项 (黔科合平台人才 [2017] 5733-062)

作者简介: 张倩茹 (1982—), 女, 博士, 副教授, 从事中药活性标志物筛选研究。Tel: (0851) 28642340, E-mail: zhangqianru@zmc.edu.cn

* **通信作者**: 胡元佳 (1980—),男,博士,副教授,从事药学信息研究。E-mail: yuanjiahu@ um. edu. mo 戚 进 (1979—),男,博士,教授,从事中药及复方药效物质基础及作用机理研究。E-mail: qijin-cpu@ cpu. edu. cn

1.3 数据收集

1.3.1 蛋白信息收集 以"diabetes mellitus, type 2" "stable diabetes mellitus" "diabetes mellitus" "non insulin dependent" "ketosis resistant diabetes" "type 2 diabetes mellitus" "adult-onset diabetes mellitus" "mason-type diabetes" "maturity onset diabetes" "type 2 diabetes" "noninsulin dependent diabetes mellitus" "type 2 diabetes" mellitus" "non-insulin dependent diabetes mellitus" "diabetes mellitus" "on-insulin dependent diabetes mellitus" "diabetes mellitus type 2" 为检索词,在生物数据库 GeneCards (http://www.genecards.org/)、OMIM (http://omim.org/)、DisgeNet (http://www.disgenet.org) 中检索T2DM的疾病基因(人源)。

以 T2DM 的 4 种治疗效应 "Glucose uptake" "insulin secretion" "insulin sensitivity" "Glycogen synthesis" 为检索词,从 OMIM、GeneCards、Polysearch2 数据库中获得与糖尿病治疗效应有关的蛋白编码基因。合并数据,在生物信息数据库 Uniprot (https://www.uniprot.org/)、HGNC (https://www.genenames.org/)检索蛋白信息,建立T2DM 疾病与治疗效应的蛋白数据库。

- 1.3.2 增液汤人血成分信息收集 前期研究表明,增液汤口服给药后有 36 个成分被吸收入血^[7-9]。从化学数据库PubChem (https://pubchem.ncbi.nlm.nih.gov)、SciFinder (https://scifinder.cas.org) 获得人血成分的分子式、分子量、结构式等化学信息,通过文献确定植物来源。
- 1.3.3 化合物-靶点关系预测 基于配体特征的化学结构相似性方法(similarity ensemble approach, SEA),对人血成分-靶点的相互作用关系进行预测。用化学软件 DS Client ver 4.5 绘制化合物三维结构,并计算 SMILES 分子描述符。凭借在线工具 SEA(http://sea.bkslab.org/)预测人血成分的潜在作用靶点(P<0.05) $^{[10]}$,在构建的蛋白数据库中筛选与 T2DM 有关的潜在靶蛋白。
- 1.4 "入血成分-靶点-效应" 网络的构建与分析
- 1.4.1 网络构建 基于"人血成分-靶点""靶点-效应"的复杂关联,构建增液汤的"人血成分-靶点-效应"网络(ingredient-target-effect network, ITEN)。人血成分、靶点、治疗效应在ITEN中分别用不同性状、不同颜色的网络节点表示;"人血成分-靶点""靶点-效应"的两类不同复杂关系则分别用不同颜色的有向边表示。
- 1.4.2 网络分析 采用入度节点度(indegree, $D_{\rm in}$)、出度节点度(outdegree, $D_{\rm out}$)对 ITEN 网络节点的中心性进行评价。在 ITEN 网络中化合物节点的 $D_{\rm in}$ 均为 0, $D_{\rm out}$ 表示相连的靶点数;靶点节点的 $D_{\rm in}$ 表示相关的化合物数量, $D_{\rm out}$ 表示相关的效应数;效应节点的 $D_{\rm in}$ 为相连的靶点数量, $D_{\rm out}$ 均为 0。采用 Cytoscape v3. 7. 2 对 ITEN 进行可视化呈现与分析。
- 1.5 增液汤入血成分的体外活性验证
- 1.5.1 分组及给药 基于前期研究,以 100 μg/mL 增液汤 为标准确定化合物给药剂量。设置实验分组为空白组,模

型组、化合物给药组、增液汤组 (100 μg/mL)、阳性 药组。

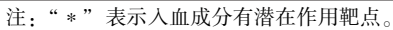
- 1.5.2 胰岛素分泌活性实验 取对数生长期的 MIN6 胰岛细胞,以每孔 1.0×10^5 个的密度接种于 24 孔板中,于 37 ℃、5% CO₂ 培养箱中培养 24 h,按"1.5.1"项下分组给药,阳性药为格列苯脲(Gli,10 μ mol/L),继续培养 24 h,弃去上清液,PBS 洗涤,加 KRB 溶液(0.2% BSA、2.8 μ mol/L 葡萄糖) 300 μ L 作用 1 h,再分别换成含 2.8、16.8 μ mol/L 葡萄糖的 KRB 溶液,作用 1 h 后终止反应,2 500 μ min 离心 10 μ min,收集上清液,按试剂盒说明书测定胰岛素浓度。
- 1.5.3 肝糖原合成活性实验 取对数生长期 HepG2 细胞,以每孔 1.0×10^4 个的密度接种于 96 孔板中,于 37 $^{\circ}$ C、5% CO₂ 培养箱中培养 24 h,按"1.5.1"项下分组给药,阳性药为二甲双胍(Met,10 μ mol/L),继续培养 24 h,加含 100 μ mol/L 胰岛素的无血清 DMEM 培养基刺激 4 h,弃上清,以预冷 PBS 洗涤 2 次,收集细胞,加入含 PMSF 的细胞裂解液 80 μ L,4 $^{\circ}$ 裂解 30 μ mi,4 $^{\circ}$ C、12 000 μ mi,离心 10 μ mi,取上清,按试剂盒说明书测定糖原浓度。
- 1.5.4 葡萄糖摄取活性实验 取对数生长期 HepG2 细胞,以每孔 1.0×10^4 个的密度接种于 96 孔板中,于 37 ℃、5% CO_2 培养箱中培养 24 h,按 "1.5.1" 项下分组给药,阳性 药为罗格列酮(Ros,10 μ mol/L),继续培养 24 h,弃上清,PBS 洗涤 2 次,加无酚红无糖培养基(含 100 μ mol/L 胰岛素)100 μ L 诱导 20 min,弃上清,加 2-NBDG(200 μ mol/L)-PBS 溶液避光孵育 20 min,弃上清,清洗 2 次,于 540 nm 波长处检测吸光度,计算葡萄糖摄取活性。
- 1.5.5 统计学分析 通过 R 软件进行处理,数据以 (\bar{x} \pm s) 表示,组间比较采用方差分析。P<0.05 表示差异具有统计学意义。

2 结果

- 2.1 T2DM 相关的疾病及效应蛋白 从数据库中获得T2DM 相关蛋白编码基因共 2 202 个,与 "insulin secretion" 相关的有 1 428 个, "insulin sensitivity" 1 328 个, "glucose uptake" 796 个, "glycogen synthesis" 255 个。
- 2.2 入血成分的潜在靶点 增液汤 36 个人血成分的化学信息及植物来源(玄参^[11]、生地黄^[12]、麦冬^[13])如表 1 所示。依据 SEA 模拟结果,31 个人血成分共作用于 205 个靶点,其中的 109 个具有 T2DM 治疗效应, "insulin secretion"有关的有 82 个, "insulin sensitivity" 72 个,"glucose uptake" 57 个,"glycogen synthesis" 16 个,表明增液汤可通过作用于相关靶点发挥降糖作用,见图 1。
- 2.3 "入血成分-靶点-效应"网络可视化分析 依据"化合物-靶点""靶点-效应"绘制增液汤治疗 T2DM 的 ITEN。该网络共由 144 个节点、598 条连线构成,3 种不同类型的节点分别代表 31 个入血成分、109 个靶点、4 种效应;369条连线表示"化合物-靶点"关系;229 条边代表"靶点效应"关系,见图 2。

表 1 增液汤入血成分

编号	成分	CAS 号	分子式	相对分子量	来源
ZYT001 *	acteoside	61276-17-3	$C_{29}H_{36}O_{15}$	624. 59	玄参、生地黄
ZYT002 *	angoroside C	115909-22-3	$\mathrm{C_{36}H_{48}O_{19}}$	784. 76	玄参、生地黄
ZYT004 *	cistanoside F	97411-47-7	$\rm C_{21}H_{28}O_{13}$	488. 44	玄参、生地黄
ZYT005 *	darendoside B	94410-28-3	$\mathrm{C_{21}H_{32}O_{12}}$	476. 48	玄参、生地黄
ZYT006 *	decaffeoylacteoside	61548-34-3	$\rm C_{20}H_{30}O_{12}$	462. 45	玄参、生地黄
ZYT007 *	ferulic acid	1135-24-6	$C_{10}H_{10}O_4$	194. 19	玄参、生地黄
ZYT019*	8-O-caffeoyl harpagide	1316091-64-1	$\rm C_{24}H_{30}O_{13}$	526. 49	玄参
ZYT021 *	aucubin	479-98-1	$C_{15}H_{22}O_9$	346. 33	玄参
ZYT022 *	cinnamic acid	140-10-3	$C_9H_8O_2$	148. 16	玄参
ZYT023 *	cistanoside D	94492-21-4	$\mathrm{C_{31}H_{40}O_{15}}$	652. 65	玄参
ZYT024 *	harpagide	6926/8/5	$\rm C_{15}H_{24}O_{10}$	364. 35	玄参
ZYT025 *	harpagoside	19210-12-9	$\mathrm{C}_{24}\mathrm{H}_{30}\mathrm{O}_{11}$	494. 49	玄参
ZYT028 *	p-coumaric acid	4501-31-9	$C_9H_8O_3$	164. 16	玄参
ZYT029 *	scrophuloside B_1	240820-55-7	$C_{35}H_{46}O_{9}$	770. 73	玄参
ZYT031*	$β$ -(3-hydroxy-4-methoxyhenyl) ethyl- O - $α$ - L -arabinopyranosyl-($1 \rightarrow 6$) - O - [6 - $α$ - L -rhamnpy-ranosyl-($1 \rightarrow 3$)]- $β$ - D -glucopyranoside	115873-00-2	$C_{26}H_{40}O_{16}$	608. 59	玄参
ZYT032 *	5,7,2',4'-tetradihydroxy-8-methoyl-6-methyl-homoisoflavanone	1243677-84-0	$C_{18}H_{18}O_{7}$	346. 33	麦冬
ZYT035 *	5-7-4'-trihydroxy-5'-methoxy-6,8-dimethyl hamoisoflavanone	1791424-44-6	$C_{19}H_{20}O_{6}$	344. 36	麦冬
ZYT036 *	methylophiopogonanone A	74805-92-8	$C_{19}H_{18}O_{6}$	342. 35	麦冬
ZYT037 *	methylophiopogonanone B	74805-91-7	$C_{19}H_{20}O_5$	328. 36	麦冬
ZYT038 *	methylophiopogone A	74805-90-6	$C_{19}H_{16}O_{6}$	340. 33	麦冬
ZYT040 *	ophiopogonanone A	75239-63-3	$C_{18}H_{16}O_{6}$	328. 32	麦冬
ZYT041 *	ophiopogonanone E	588706-66-5	$C_{19}H_{20}O_{7}$	360. 36	麦冬
ZYT050*	8-epiloganic acid	82509-41-9	$C_{16}H_{24}O_{10}$	376. 36	生地黄
ZYT051*	catalpol	2415-24-9	$\rm C_{15}H_{22}O_{10}$	362. 33	生地黄
ZYT053 *	geniposidic acid	27741-01-1	$\rm C_{16}H_{22}O_{10}$	374. 34	生地黄
ZYT054 *	jionoside A_1	120444-60-2	$\rm C_{36}H_{48}O_{20}$	800.75	生地黄
ZYT056 *	leonuride	50906-66-6	$C_{15}H_{24}O_{9}$	348. 35	生地黄
ZYT058 *	rehmaionoside A	104112-06-3	$C_{19}H_{34}O_{8}$	390. 47	生地黄
ZYT059*	rehmannioside D	81720-08-3	$\rm C_{27}H_{42}O_{20}$	686. 61	生地黄
ZYT060 *	rehmapicrogenin	135447-39-1	$C_{10}H_{16}O_3$	184. 24	生地黄
ZYT061 *	6-O-methylcatalpol	1617-84-1	$\rm C_{16}H_{24}O_{10}$	376. 36	生地黄
ZYT062 *	jiocarotenoside A_1/A_2	138195-44-5	$C_{21}H_{34}O_{9}$	430. 49	玄参
ZYT063 *	leucosceptoside A	83529-62-8	$\mathrm{C_{30}H_{38}O_{15}}$	638. 62	生地黄
ZYT064	isoacteoside	61303-13-7	$\rm C_{29}H_{36}O_{15}$	624.60	玄参
ZYT065	isoangoroside C	290809-86-8	$\rm C_{36}H_{48}O_{19}$	783. 27	玄参
ZYT066	rhamnopyranosyl vanilloyl		$C_{14}H_{18}O_{8}$	313. 09	玄参



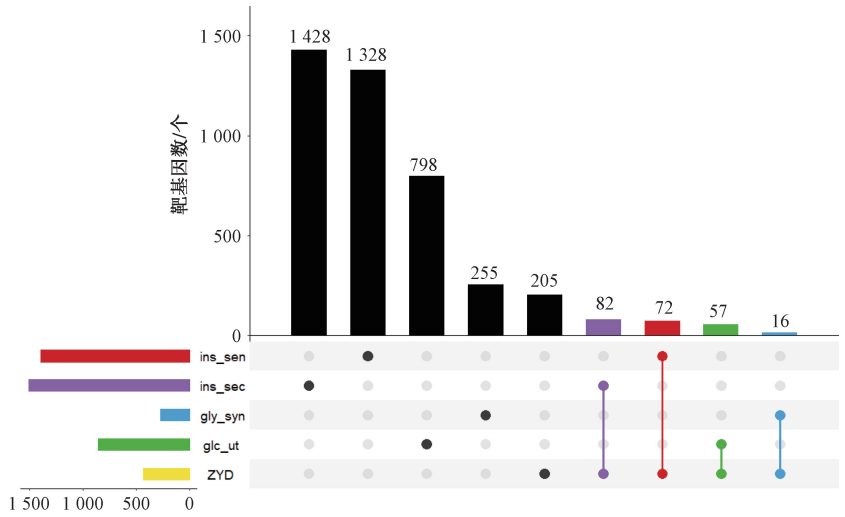
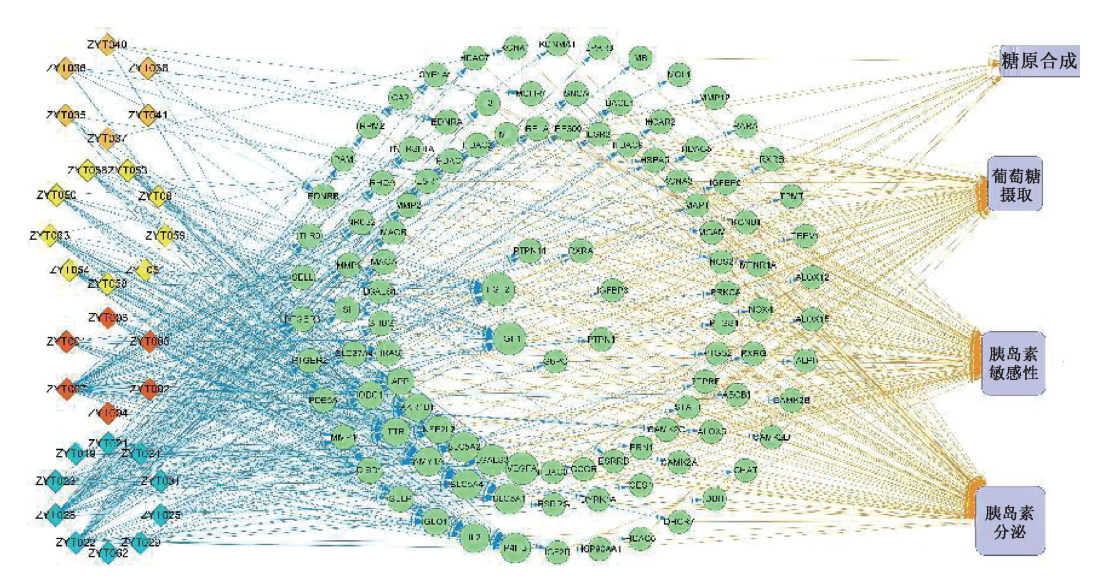


图 1 T2DM 相关基因与增液汤作用靶点交集



注:方形、圆形、菱形的节点分别对应效应、靶点、入血成分;黄色表示玄参,橙色表示麦冬,蓝色表示生地黄,红色表示玄参和生地黄的共有成分;节点大小代表 $D_{\rm in}$;橙色有向边表示靶点与效应的关系,蓝色有向边表示化合物对靶点的潜在作用。

图 2 增液汤入血成分"入血成分-靶点-效应"网络

2.4 节点中心性分析 ITEN 节点的中心性分析有助于发现增液汤的重要活性成分、主要靶点以及关键效应。高中心性节点可能在增液汤治疗 T2DM 中发挥重要作用,人血成分的 $D_{\rm in}$ 越高,表明该成分作用的潜在靶点越多。ITEN 的重要节点如表 2 所示,节点中心性前十位的人血成分有阿魏酸(ferulic acid,ZYT007)、肉桂酸(cinnamic acid,ZYT022)、对香豆酸(p-coumaric acid,ZYT028)、毛蕊花糖苷(acteoside,ZYT001)、表番木鳖酸(8-epiloganic acid,ZYT050)等。

 $D_{\rm in}$ 最高的前十位靶点有成纤维细胞生长因子 1 (fibroblast growth factor 1, FGF1)、成纤维细胞生长因子 2 (fibroblast growth factor 2, FGF2)、血管内皮细胞生长因子 A (vascular endothelial growth factor A, VEGFA)、半乳糖凝集素 3 (galectin-3, LGALS3)、钠/葡萄糖转运蛋白 1 (sodium/glucose cotransporter 1, SLC5A1)、钠/葡萄糖转运蛋白 2 (sodium/glucose cotransporter 2, SLC5A4)、白细胞介素-2 (interleukin-2, IL2)、 α -淀粉酶 1 (alpha-amylase 1, AMY1A)。靶点的 $D_{\rm in}$ 越大,表明可作用于该蛋白的人血成分越多; $D_{\rm out}$ 越大,则代表靶点参与越多的治疗效应。

根据效应节点的 D_{in}可发现增液汤治疗 T2DM 的重要效应,其中胰岛素分泌相关的靶点有 82 个,可能是增液汤治疗 2 型糖尿病的关键效应。

ferulic acid、cinnamic acid、哈帕苷 (harpagide, ZYT024)、哈帕酯苷 (harpagoside, ZYT025)、p-coumaric acid、acteoside 共 6 个人血成分在药材中的含量较高 (另文发表),可潜在作用于 FGF1、FGF2、VEGFA、LGALS3、SLC5A1 等 86 个靶点,见表 3。

2.5 验证实验 6个人血成分的给药浓度以增液汤 (100 μg/mL) 为准进行确定,分别为 harpagoside (52 nmol/L)、ferulic acid (7.7 nmol/L)、p-coumaric acid (7.7 nmol/L)、

harpagide (243 nmol/L) $_{\circ}$ acteoside (28 nmol/L) $_{\circ}$ cinnamic acid (98 nmol/L) $_{\circ}$

表 2 ITEN 的重要节点

化合物	D_{out}	靶点	D_{in}	D_{out}	效应	D_{in}
ZYT007	61	FGF1	18	4	胰岛素分泌	82
ZYT022	38	FGF2	18	4	胰岛素敏感性	72
ZYT028	38	VEGFA	17	3	葡萄糖摄取	57
ZYT023	19	LGALS3	15	3	糖原合成	16
ZYT054	19	SLC5A1	14	3	_	_
ZYT063	19	SLC5A2	14	2	_	_
ZYT001	15	P4HB	13	2	_	_
ZYT050	12	SLC5A4	13	1	_	_
ZYT006	12	IL2	12	1	_	_
ZYT056	11	AMY1A	11	2	_	_

2.5.1 胰岛素分泌活性验证 如图 3A 所示,与空白组比较,在低糖(2.8 mmol/L)刺激下,仅p-coumaric acid 对胰岛素分泌有一定促进作用(p<0.05)。如图 3B 所示,与空白组比较,在高糖(16.8 mmol/L)刺激下,harpagoside、ferulic acid、p-coumaric acid、harpagide、增液汤、格列苯脲可促进 MIN6 细胞的胰岛素分泌(p<0.05,p<0.01),而acteoside 和 cinnamic acid 无明显促进作用(p>0.05)。结果表明增液汤的降糖作用可能与 harpagide、harpagoside、ferulic acid、p-coumaric acid 的促胰岛素分泌活性有关。

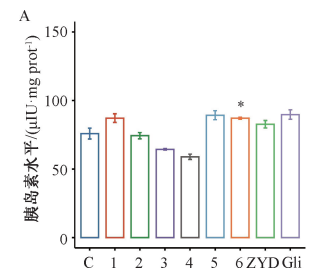
2.5.2 肝糖原合成活性验证 如图 3C 所示,模型组糖原水平较空白组降低 (*P*<0.01); harpagoside、ferulic acid、*p*-coumaric acid、harpagide、增液汤、二甲双胍可促进糖原合成 (*P*<0.05, *P*<0.01), 而 acteoside 和 cinnamic acid 则无明显 促进作用 (*P* > 0.05)。结果表明,harpagide、harpagoside、ferulic acid、*p*-coumaric acid 可能是增液汤促进肝糖原合成的活性成分。

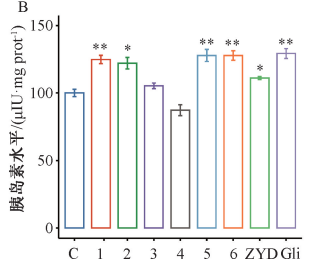
表 3 增液汤 6 个入血成分的相关靶点

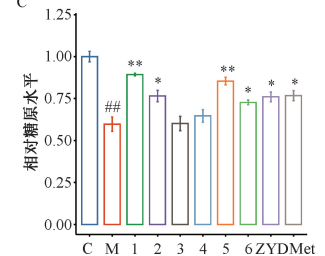
农3 省成为61人毛杰				
人血成分	潜在靶点数/个	潜在作用靶点		
ferulic acid	61	ABCB1 ALOX12 ALOX15 ALPI BACE1 CA2 CAMK2A CAMK2B CAMK2D CAMK2G CYP1A1 DHCR7 DYRK1A EP300 ERN1 ESR1 ESR2 F3 GCGR HDAC1 HDAC2 IGFBP3 IGFBP5 KCNA3 KCNMA1 MAOA MAOB MAPT MCL1 MIF MMP1 MMP2 MMP9 NR0B2 PTGER2 PTGER3 PTGS1 PTGS2 PTPN1 PTPN11 RARA RELA RHOA SLC37A4 SNCA TLR9 TNFRSF1A TRPV1 AKR1B1 ALOX5 APP CISD1 GLO1 IGF2R NFE2L2 NOX4 ODC1 RXRA SHBG TPMT TTR		
cinnamie acid	38	CES1_CHAT_CYP1A1_DBH_ESR1_F3_HCAR2_HDAC1_HDAC2_HDAC3_HDAC5_HDAC6_HDAC7_HDAC9_HSP90AA1_LPAR3_MAOA_MAOB_MMP1_MMP2_MMP9_NR0B2_PAM_PTGER2_PTGER3_PTPN11_PTPRF_RELA_RHOA_SNCA_STAT1_TLR9_TNFRSF1A_TRPM2_AKR1B1_GL01_NFE2L2_TTR		
p-coumaric acid	38	BACE1、CA2、EP300、ESR1、ESR2、ESRRG、F3、G6PC、HCAR2、HDAC1、HDAC2、HDAC5、HDAC7、HDAC9、MAOA、MAOB、MB、MIF、MMP1、MMP2、MMP9、NR0B2、PAM、PTGER2、PTGER3、PTPN11、RHOA、SLC37A4、TLR9、TNFRSF1A、TRPM2、AKR1B1、APP、CISD1、GLO1、NFE2L2、ODC1、TTR		
acteoside	15	AMY1A \AKR1B1 \FGF1 \FGF2 \HRAS \IL2 \LGALS3 \P4HB \SLC5A1 \SLC5A2 \SLC5A4 \TTR \VEGFA \PRKCA \SLC37A4		
harpagide	9	FGF1 \FGF2 \IL2 \LGALS3 \SI \SLC5A1 \SLC5A2 \SLC5A4 \VEGFA		
harpagoside	9	FGF1\FGF2\LGALS1\LGALS3\SLC5A1\SLC5A2\SLC5A4\VEGFA		

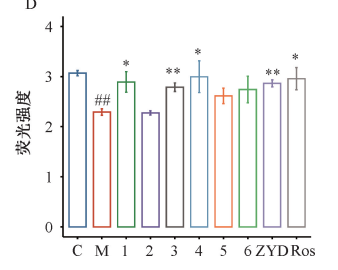
2.5.3 葡萄糖摄取活性验证 如图 3D 所示,与空白组比较,模型组对 2-NBDG 的摄取降低 (P<0.01);与模型组比较,acteoside、harpagide、cinnamic acid、增液汤、罗格列酮可促进 HepG2 细胞对 2-NBDG 的摄取 (P<0.05,

P<0.01),而 ferulic acid、*p*-coumaric acid 对 2-NBDG 的摄取有促进趋势,但差异无统计学意义 (*P*>0.05)。结果表明,harpagoside、ferulic acid、*p*-coumaric acid、harpagide 可能具有促进糖摄取效应的生物活性。









注: C 为空白组, M 为模型组, 1 为 harpagide, 2 为 harpagoside, 3 为 acteoside, 4 为 cinnanic acid, 5 为 ferulic acid, 6 为 *p*-coumaric acid, Gli 为格列本脲, Ros 为罗格列酮, Met 为二甲双胍。与空白组比较,##P<0.01; 与模型组比较,*P<0.05,**P<0.01。

图 3 增液汤化合物体外活性实验

3 讨论

能否被吸收入血是中药成分发挥生物活性的前提,入血 成分的分析与鉴定为探索增液汤治疗 T2DM 的物质基础提供 重要线索。ITEN 网络分析显示, harpagide、harpagoside、 acteoside、cinnamic acid、ferulic acid、p-coumaric acid 这 6 个人血成分潜在作用的高中心性靶点中, FGF1 和 FGF2 属 于成纤维细胞生长因子家族, 可增加 β 细胞分化与增殖, 参与胰岛素的代谢过程并促进胰岛素分泌[14]. 能持续而平 稳地降低 T2DM 动物模型过高的血糖水平,是糖尿病治疗 的潜在作用靶点[15]。半乳糖凝集素 3 能抑制自身免疫以及 获得性免疫识别过剩营养成分,造成血糖水平失衡进而诱 发糖尿病[16]。PTPN1、PTPN11 作为蛋白酪氨酸磷酸酶家 族的非受体蛋白,与癌症、代谢紊乱、心血管疾病、免疫 疾病等发生发展密切相关。PTPN1 是胰岛素通路的负调控 因子,能潜在调节葡萄糖合成过程[17]。SLC5A1、SLC5A2 属于钠/葡萄糖协同转运蛋白家族,是葡萄糖在上皮细胞 转运的重要媒介。SLC5A1 实现葡萄糖在肠道的转运与重 摄取, SLC5A2 与葡萄糖在肾小管的重吸收有关[18]。 SGLT2 (SLC5A2) 抑制剂可增强葡萄糖排泄, 快速降低血

糖水平,同时增加胰岛素分泌、提高细胞对胰岛素的敏感性^[19]。

另外,增液汤对 T2DM 的治疗可能涉及糖摄取、葡萄 糖合成、胰岛素分泌等效应。为验证预测结果,本研究采 用细胞实验对6个高含量人血成分的治疗效应进行考察。 葡萄糖摄取活性的体外实验发现,除 harpagoside 外,另外 5 个成分均能促进 HepG2 细胞对葡萄糖的摄取。PI3K/Akt 通 路是胰岛素抵抗及 T2DM 发生的基本机制之一, 而 cinnamic acid、p-coumaric acid、ferulic acid、harpagide、acteoside 等 增加糖摄取的作用机制均与上调 PI3K 表达进而激活下游信 号转导有关^[20-24]。基于对接模拟结果, ferulic acid 可作用 于维 A 酸受体 (retinoic acid receptor RXR-alpha, RXRA), RXRA 能调控 Akt 表达,对 PI3K/Akt 通路的信号传递起到 重要影响^[25]。同时, cinnamic acid 可潜在作用于磷脂酰肌 醇-4, 5-双磷酸 3-激酶 (transcription factor p65, RELA), RELA 参与 Akt 的磷酸化,通过调控胰岛素敏感性起到调节 血糖作用^[26]。acteoside、harpagide 可作用于 VEGFA, VEGFA 能促进 PI3K 的生物合成过程进而激活 PI3K/Akt 信 号通路,增强细胞膜糖转运蛋白的转运能力[27]。

ferulic acid 可能通过增加细胞内钙离子内流而发挥促进胰岛素分泌的作用^[28]。FGF1、FGF2 可增加 β 细胞分化与增殖,LGALS3 对免疫介导的 β 细胞损伤起到修复作用,SLC5A2 受到抑制时可保护胰腺 β-细胞免受葡萄糖毒性并保持胰岛素分泌能力^[29-32]。ferulic acid 可以升高 C57BL/6N 和C57BL/KsJ-db/db 高血脂小鼠的肝糖原累积,并增加葡萄糖激酶活性^[28,33]。*p*-coumaric acid 能增加糖尿病大鼠的肝糖原含量,有助于减少肝糖输出、维持血糖稳态^[20]。本研究显示,增液汤的 harpagide、harpagoside、ferulic acid 和 *p*-coumaric acid 均能促进 MIN6 细胞在高糖刺激下的胰岛素分泌,且具有促进肝糖原合成的活性。ITEN 网络分析结果表明,*p*-coumaric acid、harpagide、harpagoside 可共同作用于FGF1、FGF2、LGALS3、SLC5A2 等靶点。

综上所述,增液汤的 6 个人血成分被证明可能通过作用于多个靶点,共同发挥多种治疗效应。本研究为进一步探讨增液汤治疗 T2DM 的物质基础及作用机制提供理论依据,也为中药药效物质基础研究新方法的建立提供重要借鉴。

参考文献:

- [1] Kerru N, Singh-Pillay A, Awolade P, et al. Current anti-diabetic agents and their molecular targets: A review[J]. Eur J Med Chem, 2018, 152: 436-488.
- [2] Alam F, Islam MA, Kamal MA, et al. Updates on Managing type 2 diabetes mellitus with natural products: Towards antidiabetic drug development [J]. Curr Med Chem, 2018, 25 (39): 5395-5431.
- [3] 刘鸣昊, 段卫娜, 张振凌. 增液汤临床研究进展[J]. 中医学报, 2016. 31(10): 1525-1528.
- [4] 庄智荣. 增液汤现代临床应用的文献研究[D]. 北京: 北京中医药大学, 2010.
- [5] 朱春胜. 中药血清谱效学研究现状概述[J]. 中草药, 2020, 51(13): 3569-3574.
- [6] 蔡少青,王 璇,尚明英,等.中药"显效理论"或有助于 阐释并弘扬中药特色优势[J].中国中药杂志,2015,40 (17):3435-3443.
- [7] Chang S Q, Wang M, Tian Y S, et al. Systematic analysis and identification of the absorption and metabolic components of Zengye decoction in type 2 diabetic rats by HPLC-ESI-Q-TOF-MS/MS[J]. Chin Med, 2020, 15: 50.
- [8] Tian Y S, Du Z Y, Xiao Y, et al. Screening and identification of potential hypoglycemic components in Zeng Ye Tang by highperformance liquid chromatography coupled with tandem quadrupole time-of-flight mass spectrometry [J]. J Separat Sci, 2017, 40(24): 4709-4717.
- [9] 田雨闪, 杜中英, 戚 进. 增液汤的体内肠吸收评价研究 [J]. 海峡药学, 2016, 28(7): 14-16.
- [10] Keiser M J, Roth B L, Armbruster B N, et al. Relating protein pharmacology by ligand chemistry [J]. Nat Biotechnol, 2007, 25 (2): 197-206.
- [11] 张刘强,李医明.近10年玄参属植物化学成分和药理作用

- 研究进展[J]. 中草药, 2011, 42(11): 2360-2368.
- [12] Liang Q D, Ma J, Ma Z C, et al. Chemical comparison of dried rehmannia root and prepared rehmannia root by UPLC-TOF MS and HPLC-ELSD with multivariate statistical analysis [J]. Acta Pharm Sin B, 2013, 3(1): 55-64.
- [13] Li Z, Wu Y Y, Yu B X. Methylophiopogonanone A, an Ophiopogon homoisoflavonoid, alleviates high-fat diet-induced hyperlipidemia; assessment of its potential mechanism [J]. Braz J Med Biol Res, 2020, 53(3); e9201.
- [14] Tennant K G, Lindsley S R, Kirigiti M A, et al. Central and peripheral administration of fibroblast growth factor 1 improves pancreatic islet insulin secretion in diabetic mouse models [J]. Diabetes, 2019, 68(7): 1462-1472.
- [15] Gasser E, Moutos C P, Downes M, et al. FGF1—a new weapon to control type 2 diabetes mellitus [J]. Nat Rev Endocrinol, 2017, 13(10): 599-609.
- [16] Pejnovic N N, Pantic J M, Jovanovic I P, et al. Galectin-3 is a regulator of metaflammation in adipose tissue and pancreatic islets[J]. Adipocyte, 2013, 2(4): 266-271.
- [17] Cheyssac C, Lecoeur C, Dechaume A, et al. Analysis of common PTPN1gene variants in type 2 diabetes, obesity and associated phenotypes in the French population [J]. BMC Medical Genetics, 2006, 7: 44.
- [18] Rieg T, Vallon V. Development of SGLT1 and SGLT2 inhibitors[J]. Diabetologia, 2018, 61(10): 2079-2086.
- [19] DeFronzo R A, Norton L, Abdul-Ghani M. Renal, metabolic and cardiovascular considerations of SGLT2 inhibition [J]. Nat Rev Nephrol, 2017, 13(1): 11-26.
- [20] Abdel-Moneim A, El-Twab S M A, Yousef A I, et al. Modulation of hyperglycemia and dyslipidemia in experimental type 2 diabetes by gallic acid and p-coumaric acid: The role of adipocytokines and PPARγ[J]. Biomed Pharmacother, 2018, 105: 1091-1097.
- [21] Gong W, Zhang N D, Cheng G, et al. Rehmannia glutinosa Libosch extracts prevent bone loss and architectural deterioration and enhance osteoblastic bone formation by regulating the IGF-1/PI3K/mTOR pathway in streptozotocin-induced diabetic rats [J]. Int J Mol Sci., 2019, 20(16): 3964.
- [22] Huang D W, Shen S C, Wu J S B. Effects of caffeic acid and cinnamic acid on glucose uptake in insulin-resistant mouse hepatocytes [J]. J Agric Food Chem, 2009, 57 (17): 7687-7692.
- [23] Kang B B, Chiang B H. Amelioration of insulin resistance using the additive effect of ferulic acid and resveratrol on vesicle trafficking for skeletal muscle glucose metabolism[J]. *Phytother Res*, 2020, 34(4): 808-816.
- [24] Prabhakar P K, Doble M. Synergistic effect of phytochemicals in combination with hypoglycemic drugs on glucose uptake in myotubes [J]. *Phytomedicine*, 2009, 16(12): 1119-1126.
- [25] Tang J M, Zhong G S, Zhang H B, et al. LncRNA DANCR upregulates PI3K/AKT signaling through activating serine phosphorylation of RXRA [J]. Cell Death Dis, 2018, 9

Vol. 45 No. 5

(12): 1167.

- [26] Ke B L, Zhao Z Y, Ye X, et al. Inactivation of NF-κB p65 (RelA) in liver improves insulin sensitivity and inhibits cAMP/PKA pathway[J]. Diabetes, 2015, 64(10): 3355-3362.
- [27] Fruman D A, Chiu H, Hopkins B D, et al. The PI3K Pathway in Human Disease [J]. Cell, 2017, 170(4); 605-635.
- [28] Son M J, Rico C W, Nam S H, et al. Effect of oryzanol and ferulic acid on the glucose metabolism of mice fed with a high-fat diet[J]. J Food Sci., 2011, 76(1): H7-H10.
- [29] Inchovska M, Ogneva V, Martinova Y. Role of FGF1, FGF2 and FGF7 in the development of the pancreas from control and streptozotocin-treated hamsters [J]. Cell Prolif, 2006, 39(6): 537-550.

- [30] Li P P, Liu S N, Lu M, et al. Hematopoietic-derived galectin-3 causes cellular and systemic insulin resistance [J]. Cell, 2016, 167(4): 973-984.
- [31] Pørksen N, Hollingdal M, Juhl C, et al. Pulsatile insulin secretion: detection, regulation, and role in diabetes [J]. Diabetes, 2002, 51 Suppl 1: S245-S254.
- [32] Satin L S, Butler P C, Ha J, et al. Pulsatile insulin secretion, impaired glucose tolerance and type 2 diabetes [J]. Mol Aspects Med, 2015, 42: 61-77.
- [33] Jung E H, Ran Kim S, Hwang I K, et al. Hypoglycemic effects of a phenolic acid fraction of rice bran and ferulic acid in C57BL/KsJ-db/db mice [J]. J Agric Food Chem, 2007, 55 (24): 9800-9804.

基于 UPLC-MS 法探究三角咪在大鼠体内的代谢组学

方 $g^{1,2}$, 彭 梅², 杨 娟², 李良群², 何磊磊³, 郁华英³, 王道平², 杨小生^{2*} (1. 贵州医科大学药学院,贵州 贵阳 550000; 2. 贵州省中国科学院天然产物化学重点实验室,贵州贵阳,550000; 3. 贵州大学明德学院,贵州 贵阳 550000)

摘要:目的 对三角咪醇提物在大鼠血清、尿液、粪便中的化学成分进行研究,阐明其体内药效物质基础。方法 大鼠灌胃给予三角咪醇提物后,采集不同时间段的血清、尿液、粪便,将三角咪中吸收入血和代谢的化学成分采用UPLC-MS 法测定,再通过正离子碰撞模式扫描,对大鼠灌胃给予三角咪醇提物前后的血清、尿液、粪便进行比较,以确定其入血成分和代谢部分。结果 从三角咪醇提物中共检测到 14 种成分,其中 5 种为吸收入血的成分,4 种为尿液代谢的成分,4 种为粪便代谢的成分,主要为甾体生物碱类。结论 初步确定三角咪的入血成分和代谢成分,为三角咪的临床应用提供了理论依据。

关键词:三角咪:代谢成分:甾体生物碱: UPLC-MS

中图分类号: R284 文献标志码: B

文章编号: 1001-1528(2023)05-1704-07

doi:10.3969/j.issn.1001-1528.2023.05.057

三角咪是贵州特色民族药材,为黄杨科三角咪属(板凳果属)植物多毛板凳果的干燥根茎或全草[1],主要分布于陕西、江西、福建、广东、海南、广西、贵州、云南等地,具有祛风除湿、活血止痛的功效。研究发现,三角咪中含有丰富的化学成分,主要以甾体类生物碱、挥发油居多^[2],其中生物碱类具有抗溃疡、抗癌活性^[3],也因其活血化瘀及抗炎抗菌活性极好而在民间得到广泛应用。迄今为止,关于三角咪的研究主要集中在化学成分分离,而其体内发挥药效的人血成分及代谢途径,尚未见文献报道。

课题组前期研究发现,三角咪醇提物在体外有较强的抗癌活性^[4]。因三角咪中的化学成分较多,通过动物体内给药,真正人血的成分可能才是药材的有效物质基础,同

时又因血液成分多而复杂,且三角咪中成分多半无紫外吸收,采用液相色谱 DAD 检测到的成分较少,采用蒸发光检测的成分也不多且灵敏度较低,而 UPLC-MS 法检测到的成分较多,专一性强,成分明确,因此本研究采用 UPLC-MS 法,将三角咪的醇提物经大鼠灌胃后的含药血清和空白血清、含药粪便和空白粪便、含药尿液和空白尿液与三角咪醇提物进行比较,初步研究三角咪主要人血成分和代谢成分,以期为三角咪的临床应用提供参考。

1 材料

赛默飞 Q Exactive Focus LCMSMS 系统 (美国 Thermo Fisher Scientific 公司); Millipore-0026 超纯水机 (美国 Millipore 公司); ME204E 型万分之一精密电子天平 (上海 盛平电子有限公司); 高速离心机 (德国 Eppendorf 公司)。

收稿日期: 2021-10-09

基金项目: 国家基金项目 (U1812403); 贵州省科技计划项目 (黔科合支撑 [2019] 2756 号, 黔科合服企 [2020] 4013 号)

作者简介: 方 媛 (1997—), 女, 硕士, 从事药物化学研究。Tel: 18364213909, E-mail: fyy216122@163.com

*通信作者:杨小生,研究员,博士生导师,从事生物质资源与采用研究,Tel:(0851)83804370, E-mail: gzenp@ sina. cn